

I – Amplificadores Operacionais

- a) Para o circuito da Fig. 1, representar a curva $V_o(V_i)$. $V_{cc} = \pm 15$ V e $R_2=10R_1=50k\Omega$.
b) Explicar a utilidade do circuito e calcular a alteração de funcionamento se o ampop apresentar uma tensão de desvio (tensão diferencial de entrada para que a saída do ampop seja nula) $V_{os}=10$ mV. Sugerir como compensar o efeito de V_{os} .

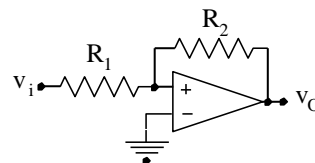


Fig. 1

II – Filtros Activos

- a) Obter a função de transferência de um filtro passa-alto de Chebyshev que obedeça às seguintes especificações: Atenuação inferior a 0,5 dB (A_p) acima de 4 kHz e atenuação superior a 19 dB (A_s) abaixo de 1 kHz.
b) Se em (IIa) for utilizada a aproximação de Butterworth com a mesma ordem, calcular a diferença de atenuação que se obtém para as baixas frequências. Justifique.
c) Calcular a frequência (ou frequências) para a qual a atenuação é nula.
d) Responda às seguintes questões: 1) Referir como são desenhados os melhores filtros RC-ativos Justifique; 2) Como proceder se nas secções biquadráticas de Sallen&Key se quiser introduzir uma constante de ganho $G < 1$ mantendo os polos do filtro e adicionando um número mínimo de componentes.

Nota:

$A_{Cheby}(\Omega) = 10 \log[1 + \epsilon^2 C_n^2(\Omega)]$, $C_{n+1}(\Omega) = 2\Omega C_n(\Omega) - C_{n-1}(\Omega)$ com $C_0(\Omega) = 1$, $C_1(\Omega) = \Omega$ e $\Omega_s = \omega_p / \omega_s$. $H(S) = 1/T(s)$

$A_p = 0,5$ dB	n	Numerador de H(S)	Denominador de H(S)	$S = s/\omega_p$
	1	$S + 2,86278$	$2,86278$	$S = \omega_p/s$
	2	$S^2 + 1,42562S + 1,51620$	$1,43138$	$S = (s^2 + \omega_0^2)/Bs$
	3	$(S + 0,62646)(S^2 + 0,62646S + 1,14245)$	$0,71570$	$S = Bs/(s^2 + \omega_0^2)$

$A_{But}(\Omega) = 10 \log[1 + \epsilon^2 \Omega^{2n}]$

III – Filtros Digitais

Considerar o filtro digital com frequência de amostragem $f_s = 50$ kHz e função de sistema

$$T(z) = \frac{2 + 4z^{-1} + 2z^{-2}}{1 - 0,3z^{-1} + 0,2z^{-2}}$$

- a) Referir com se designa este tipo de filtro, se ele é estável ou instável, e calcular a sua equação de recorrência.
b) Para o filtro considerado em IIIa) desenhar dois diagramas de fluxo de sinal correspondentes a formas canónicas.
c) Obter as expressões no domínio Z do processamento de sinal relativo ao algoritmo LMS para a atualização dos coeficientes do filtro digital adaptativo em modo de identificação com entrada x_k , saída \hat{e}_k e função de sistema:

$$T(z) = \frac{\hat{a}_0 + \hat{a}_1 z^{-1}}{1 + \hat{b}_1 z^{-1}}$$

IV – Conversores A/D e D/A

- a) Considere o conversor D/A em escada R-2R da Fig. 2. Para uma entrada digital $[b_0 b_1 b_2 b_3 b_4 b_5 b_6 b_7] = [11100000]$ e com $R_f = 2R$ e $V_{ref} = -5$ V calcule o valor da tensão de saída V_o . Comente as vantagens da estrutura R-2R nos conversores D/A.
b) Justifique a afirmação: “O conversor A/D de dupla rampa é imune a ruídos periódicos de média nula para certas frequências”.

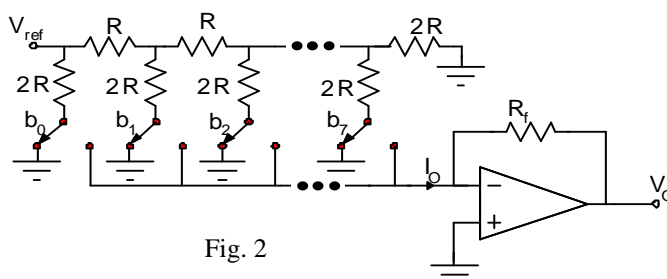


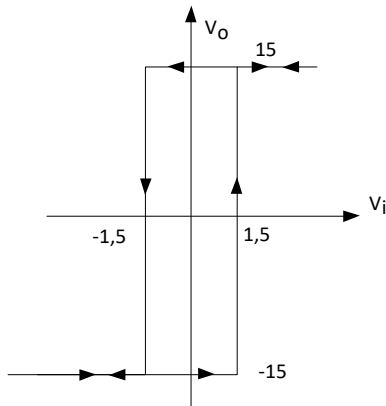
Fig. 2

Soluções

I – Amplificadores Operacionais

a) $V^+ = R_2/(R_1+R_2) V_i + R_1/(R_1+R_2) V_o$

Comutação *Low-High* em 1,5 V e *High-Low* em -1,5 V. Tensões de saída de ± 15 V.



b) Comparador com histerese. Permite comparações de tensões com maior imunidade ao ruído nos sinais.

Com V_{os} toda a curva se desloca para a direita no valor de $(1+R_1/R_2)V_{os}$ e assim deixa de estar centrada em zero para estar centrada em $(1+R_1/R_2)V_{os}=11\text{mV}$.

Sugestão: inserir uma tensão de referência de valor igual a $-V_{os}$ no terminal menos do ampop, em vez de o ligar à massa; assim este valor (V_{os}) será anulado no cálculo de $V_o = A(V^+ - V^-)$.

II – Filtros Activos

a) $\omega_s = 2\pi \times 1\text{kHz} = 6,283 \times 10^3 \text{ rad/s}$

$\omega_p = 2\pi \times 4\text{kHz} = 2,513 \times 10^4 \text{ rad/s}$

$\Omega_s = \omega_p / \omega_s = 4$

Chebyshev: $A(\Omega) = 10 \log[1 + \epsilon^2 C_n^2(\Omega)]$

1) $\Omega = 1$

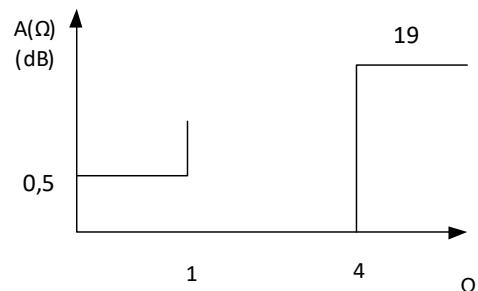
$A(1) = 10 \log(1 + \epsilon^2) = 0,5 \rightarrow \epsilon = 0,349$

2) $\Omega = \Omega_s = 4$

$A(\Omega_s) = 10 \log[1 + \epsilon^2 C_n^2(\Omega_s)] \geq 19 \rightarrow n=2 \quad (A(4)=20,72 \text{ dB})$

3)

$$T(s) = 1/H(s) \Big|_{s=\frac{\omega_p}{s}} = \frac{1,43138}{s^2 + 1,42562s + 1,5162} \Big|_{s=\frac{\omega_p}{s}} = \frac{0,944s^2}{s^2 + 2,363 \times 10^4 s + 4,165 \times 10^8}$$



b) A asymptota de baixa frequência do filtro passa-alto é equivalente à asymptota de alta frequência do filtro passa-baixo normalizado que lhe deu origem. Assim, para os filtros passa-baixo normalizados, os filtros de Chebyshev apresentam uma atenuação suplementar, relativamente aos filtros Butterworth da mesma ordem, de $6(n-1)\text{dB}$. Neste caso de $n=2$ vem uma atenuação suplementar para o filtro de Butterworth de -6dB .

c) $A(\omega) = 0 \text{ dB}$ terá que corresponder a $A(\Omega) = 0 \text{ dB}$, ou seja $10 \log[1 + \epsilon^2 C_2^2(\Omega)] = 0$, que implica $C_2(\Omega) = 0$. Mas $2\Omega^2 - 1 = 0$ implica $\Omega = \omega_p / \omega = 0,7071$, ou seja $\omega = 35543 \text{ rad/s} = 2\pi \times 5657 \text{ rad/s}$.

d) 1) Os melhores filtros RC-ativos são os filtros baseados nos melhores filtros passivos (sensibilidades mais baixas), que são os filtros LC em escada duplamente terminados. Estes filtros RC-ativos podem ser obtidos por simulação direta (usando GICs) ou simulação operacional (usando integradores de Miller).

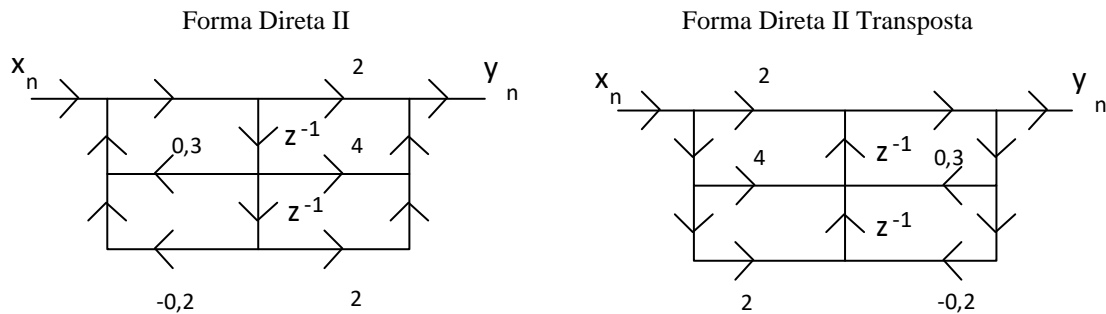
2) Para multiplicar a função de transferência por uma constante de ganho $G < 1$ sem redimensionar o filtro todo, e portanto mantendo os polos, substitui-se o ramo flutuante de entrada das secções por um divisor potenciométrico de valor G , garantindo que a impedância do paralelo dos dois novos componentes é igual à original substituída.

III – Filtros Digitais

a) Filtro IIR. Equação de recorrência: $y_n = 2x_n + 4x_{n-1} + 2x_{n-2} + 0,3y_{n-1} - 0,2y_{n-2}$

Os polos estão em $p = 0,15 \pm j0,421$. É estável pois os polos (no plano \mathbf{Z}) estão dentro do círculo unitário ($|p| = 0,447$).

b) Forma canónica significa com número mínimo de atrasos.



c) Considerando $X(z)$ a transformada Z do sinal de entrada x_k e $\hat{E}(z)$ a transformada Z da saída do filtro adaptativo, temos $\hat{E}(z) = X(z)T(z)$.

Considerando y_k o sinal de erro e μ o passo de adaptação, o algoritmo LMS vem (no tempo)

$$\hat{c}_i(k+1) = \hat{c}_i(k) + 2\mu y_k \frac{\partial \hat{e}_k}{\partial \hat{c}_i} = \hat{c}_i(k) + 2\mu y_k \alpha_{c_i}(k) \quad \text{com} \quad \hat{c}_0 = \hat{a}_0, \quad \hat{c}_1 = \hat{a}_1, \quad \hat{c}_2 = \hat{b}_1$$

Como a Transformada Z é linear, vem $\alpha_{c_i}(z) = Z\left\{\alpha_{c_i}(k)\right\} = Z\left\{\frac{\partial \hat{e}_k}{\partial \hat{c}_i}\right\} = \frac{\partial Z\left\{\hat{e}_k\right\}}{\partial \hat{c}_i} = \frac{\partial \hat{E}(z)}{\partial \hat{c}_i} = X(z) \frac{\partial T(z)}{\partial \hat{c}_i}$

O processamento de sinal virá para os $\alpha_{c_i}(z)$

$$\alpha_{a_0}(z) = X(z) \frac{1}{1 + \hat{b}_1 z^{-1}} \quad \alpha_{a_1}(z) = X(z) \frac{z^{-1}}{1 + \hat{b}_1 z^{-1}} \quad \alpha_{b_1}(z) = -X(z) \frac{\hat{a}_0 + \hat{a}_1 z^{-1}}{1 + \hat{b}_1 z^{-1}} \frac{z^{-1}}{1 + \hat{b}_1 z^{-1}} = -\hat{E}(z) \frac{z^{-1}}{1 + \hat{b}_1 z^{-1}}$$

IV – Conversores A/D e D/A

a)

$$V_o = -I_o R_f$$

$$I_o = \frac{V_{ref}}{2R} + \frac{V_{ref}}{2 \times 2R} + \frac{V_{ref}}{4 \times 2R} = \frac{V_{ref}}{R} \left(\frac{1}{2} + \frac{1}{4} + \frac{1}{8} \right)$$

$$V_o = -\frac{R_f}{R} V_{ref} \left(\frac{7}{8} \right) = 8,75 \text{ V}$$

A estrutura R-2R nos conversores D/A evita que as resistências associadas aos ramos de cada bit, para poder haver um peso destes coerente com o código binário, teriam que ter uma dispersão de valores elevada. Desta forma só há 2 valores de resistência independentemente do número de bits.

b) No conversor de dupla rampa o sinal analógico a converter é integrado durante um período de tempo fixo T_1 . Desta forma, o ruído associado ao sinal de entrada também será integrado durante o mesmo período. Ora a integração de um sinal de média nula periódico, se o tempo de integração for múltiplo do seu período dará um resultado nulo. Assim, o conversor será imune ao ruído de média nula de período T_1 . O conversor (T_1) pode então ser desenhado por forma a rejeitar certos ruídos indesejados.